

Starkniederschlagshöhen und -spenden gemäß KOSTRA-DWD-2020

Rasterfeld 72142

(Zeile 72, Spalte 142)

Regenspende und Bemessungsniederschlagswerte in Abhängigkeit von Wiederkehrzeit T und Dauerstufe D

| Dauerstufe D | | Wiederkehrzeit T | | | | | | | | | | | | | | | | | |
|--------------|-----|------------------|------------|------|------------|------|------------|------|------------|-------|------------|-------|------------|-------|------------|-------|------------|-------|------------|
| | | 1 a | | 2 a | | 3 a | | 5 a | | 10 a | | 20 a | | 30 a | | 50 a | | 100 a | |
| min | Std | mm | l / (s ha) | mm | l / (s ha) | mm | l / (s ha) | mm | l / (s ha) | mm | l / (s ha) | mm | l / (s ha) | mm | l / (s ha) | mm | l / (s ha) | mm | l / (s ha) |
| 5 | | 6,0 | 200,0 | 7,3 | 243,3 | 8,1 | 270,0 | 9,2 | 306,7 | 10,7 | 356,7 | 12,3 | 410,0 | 13,3 | 443,3 | 14,7 | 490,0 | 16,6 | 553,3 |
| 10 | | 7,7 | 128,3 | 9,4 | 156,7 | 10,4 | 173,3 | 11,7 | 195,0 | 13,7 | 228,3 | 15,7 | 261,7 | 17,0 | 283,3 | 18,7 | 311,7 | 21,2 | 353,3 |
| 15 | | 8,8 | 97,8 | 10,7 | 118,9 | 11,9 | 132,2 | 13,4 | 148,9 | 15,6 | 173,3 | 17,9 | 198,9 | 19,4 | 215,6 | 21,4 | 237,8 | 24,2 | 268,9 |
| 20 | | 9,6 | 80,0 | 11,7 | 97,5 | 13,0 | 108,3 | 14,7 | 122,5 | 17,1 | 142,5 | 19,6 | 163,3 | 21,2 | 176,7 | 23,4 | 195,0 | 26,5 | 220,8 |
| 30 | | 10,9 | 60,6 | 13,3 | 73,9 | 14,7 | 81,7 | 16,6 | 92,2 | 19,4 | 107,8 | 22,2 | 123,3 | 24,1 | 133,9 | 26,5 | 147,2 | 30,0 | 166,7 |
| 45 | | 12,3 | 45,6 | 15,0 | 55,6 | 16,6 | 61,5 | 18,8 | 69,6 | 21,9 | 81,1 | 25,1 | 93,0 | 27,2 | 100,7 | 29,9 | 110,7 | 33,9 | 125,6 |
| 60 | 1 | 13,4 | 37,2 | 16,3 | 45,3 | 18,1 | 50,3 | 20,4 | 56,7 | 23,8 | 66,1 | 27,3 | 75,8 | 29,6 | 82,2 | 32,6 | 90,6 | 36,9 | 102,5 |
| 90 | 1,5 | 15,1 | 28,0 | 18,4 | 34,1 | 20,4 | 37,8 | 23,0 | 42,6 | 26,8 | 49,6 | 30,7 | 56,9 | 33,3 | 61,7 | 36,7 | 68,0 | 41,5 | 76,9 |
| 120 | 2 | 16,4 | 22,8 | 20,0 | 27,8 | 22,1 | 30,7 | 25,0 | 34,7 | 29,2 | 40,6 | 33,4 | 46,4 | 36,2 | 50,3 | 39,9 | 55,4 | 45,1 | 62,6 |
| 180 | 3 | 18,5 | 17,1 | 22,5 | 20,8 | 24,9 | 23,1 | 28,1 | 26,0 | 32,8 | 30,4 | 37,6 | 34,8 | 40,7 | 37,7 | 44,9 | 41,6 | 50,8 | 47,0 |
| 240 | 4 | 20,1 | 14,0 | 24,4 | 16,9 | 27,1 | 18,8 | 30,6 | 21,3 | 35,6 | 24,7 | 40,9 | 28,4 | 44,3 | 30,8 | 48,7 | 33,8 | 55,2 | 38,3 |
| 360 | 6 | 22,6 | 10,5 | 27,4 | 12,7 | 30,4 | 14,1 | 34,4 | 15,9 | 40,1 | 18,6 | 45,9 | 21,3 | 49,8 | 23,1 | 54,8 | 25,4 | 62,0 | 28,7 |
| 540 | 9 | 25,4 | 7,8 | 30,8 | 9,5 | 34,2 | 10,6 | 38,6 | 11,9 | 45,0 | 13,9 | 51,6 | 15,9 | 55,9 | 17,3 | 61,6 | 19,0 | 69,7 | 21,5 |
| 720 | 12 | 27,5 | 6,4 | 33,5 | 7,8 | 37,1 | 8,6 | 41,9 | 9,7 | 48,9 | 11,3 | 56,0 | 13,0 | 60,7 | 14,1 | 66,9 | 15,5 | 75,6 | 17,5 |
| 1080 | 18 | 30,9 | 4,8 | 37,6 | 5,8 | 41,7 | 6,4 | 47,1 | 7,3 | 54,9 | 8,5 | 62,9 | 9,7 | 68,2 | 10,5 | 75,1 | 11,6 | 85,0 | 13,1 |
| 1440 | 24 | 33,6 | 3,9 | 40,8 | 4,7 | 45,3 | 5,2 | 51,2 | 5,9 | 59,6 | 6,9 | 68,3 | 7,9 | 74,1 | 8,6 | 81,5 | 9,4 | 92,3 | 10,7 |
| 2880 | 48 | 41,0 | 2,4 | 49,8 | 2,9 | 55,2 | 3,2 | 62,4 | 3,6 | 72,7 | 4,2 | 83,4 | 4,8 | 90,3 | 5,2 | 99,5 | 5,8 | 112,5 | 6,5 |
| 4320 | 72 | 46,0 | 1,8 | 55,9 | 2,2 | 62,0 | 2,4 | 70,1 | 2,7 | 81,7 | 3,2 | 93,6 | 3,6 | 101,4 | 3,9 | 111,7 | 4,3 | 126,4 | 4,9 |
| 5760 | 96 | 50,0 | 1,4 | 60,7 | 1,8 | 67,3 | 1,9 | 76,1 | 2,2 | 88,7 | 2,6 | 101,7 | 2,9 | 110,2 | 3,2 | 121,3 | 3,5 | 137,3 | 4,0 |
| 7200 | 120 | 53,2 | 1,2 | 64,7 | 1,5 | 71,8 | 1,7 | 81,1 | 1,9 | 94,5 | 2,2 | 108,4 | 2,5 | 117,4 | 2,7 | 129,3 | 3,0 | 146,3 | 3,4 |
| 8640 | 144 | 56,1 | 1,1 | 68,2 | 1,3 | 75,6 | 1,5 | 85,5 | 1,6 | 99,6 | 1,9 | 114,2 | 2,2 | 123,7 | 2,4 | 136,2 | 2,6 | 154,1 | 3,0 |
| 10080 | 168 | 58,6 | 1,0 | 71,2 | 1,2 | 79,0 | 1,3 | 89,3 | 1,5 | 104,1 | 1,7 | 119,3 | 2,0 | 129,3 | 2,1 | 142,4 | 2,4 | 161,1 | 2,7 |

Starkniederschlagshöhen und -spenden gemäß KOSTRA-DWD-2020

Rasterfeld 72142

(Zeile 72, Spalte 142)

Örtliche Unsicherheiten in Abhängigkeit von Wiederkehrzeit T und Dauerstufe D

| Dauerstufe D | | Wiederkehrzeit T | | | | | | | | |
|--------------|-----|------------------|-----|-----|-----|------|------|------|------|-------|
| | | 1 a | 2 a | 3 a | 5 a | 10 a | 20 a | 30 a | 50 a | 100 a |
| min | Std | ± % | ± % | ± % | ± % | ± % | ± % | ± % | ± % | ± % |
| 5 | | 18 | 19 | 19 | 20 | 21 | 22 | 23 | 23 | 24 |
| 10 | | 19 | 20 | 21 | 22 | 24 | 25 | 25 | 26 | 26 |
| 15 | | 18 | 21 | 22 | 23 | 24 | 25 | 26 | 26 | 27 |
| 20 | | 18 | 20 | 21 | 23 | 24 | 25 | 26 | 27 | 27 |
| 30 | | 17 | 20 | 21 | 22 | 24 | 25 | 25 | 26 | 27 |
| 45 | | 16 | 18 | 19 | 21 | 22 | 23 | 24 | 25 | 26 |
| 60 | 1 | 15 | 17 | 18 | 20 | 21 | 22 | 23 | 24 | 24 |
| 90 | 1,5 | 13 | 15 | 17 | 18 | 19 | 21 | 21 | 22 | 23 |
| 120 | 2 | 12 | 14 | 15 | 17 | 18 | 19 | 20 | 21 | 21 |
| 180 | 3 | 11 | 13 | 14 | 15 | 16 | 18 | 18 | 19 | 20 |
| 240 | 4 | 11 | 12 | 13 | 14 | 15 | 16 | 17 | 18 | 18 |
| 360 | 6 | 11 | 12 | 12 | 13 | 14 | 15 | 16 | 16 | 17 |
| 540 | 9 | 12 | 12 | 12 | 13 | 14 | 14 | 15 | 15 | 16 |
| 720 | 12 | 13 | 12 | 12 | 13 | 13 | 14 | 14 | 15 | 15 |
| 1080 | 18 | 15 | 14 | 14 | 14 | 14 | 14 | 15 | 15 | 15 |
| 1440 | 24 | 17 | 15 | 15 | 15 | 15 | 15 | 15 | 15 | 16 |
| 2880 | 48 | 21 | 20 | 19 | 18 | 18 | 18 | 18 | 18 | 18 |
| 4320 | 72 | 24 | 22 | 22 | 21 | 20 | 20 | 20 | 20 | 20 |
| 5760 | 96 | 27 | 25 | 24 | 23 | 22 | 22 | 22 | 21 | 21 |
| 7200 | 120 | 28 | 26 | 25 | 25 | 24 | 23 | 23 | 23 | 23 |
| 8640 | 144 | 30 | 28 | 27 | 26 | 25 | 25 | 24 | 24 | 24 |
| 10080 | 168 | 31 | 29 | 28 | 27 | 26 | 26 | 25 | 25 | 25 |

Parameter für abweichende T und D

Lokationsparameter ξ (Xi)

13,53918799

Skalenparameter α (Alpha)

4,04672048

Formparameter κ (Kappa)

-0,1

1. Koutsoyiannis-Parameter θ (Theta)

0,01198092

2. Koutsoyiannis-Parameter η (Eta)

0,7138158

Parameter für dauerstufenübergreifende Extremwertschätzung nach KOUTSOYIANNIS et al. 1998.

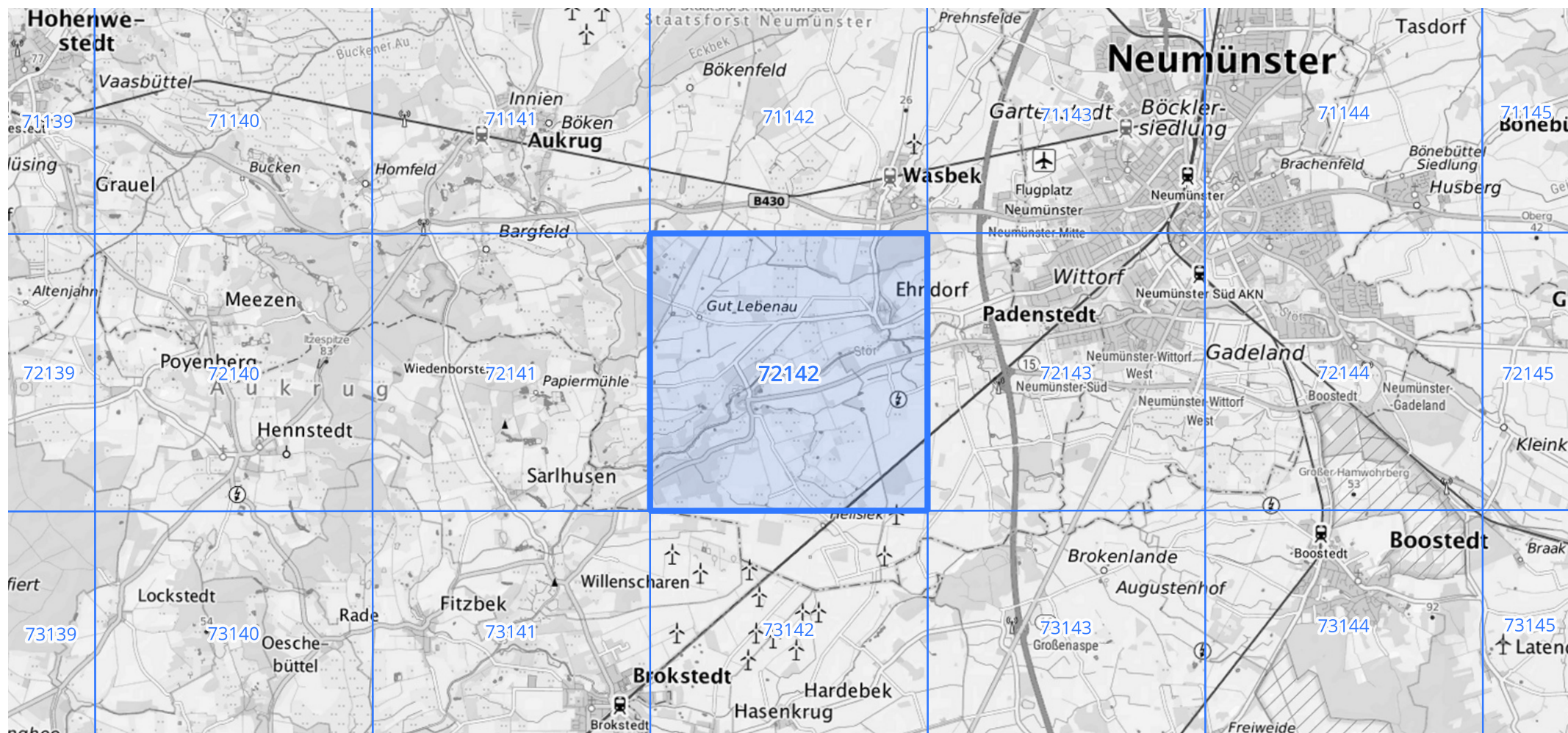
Siehe auch Anwendungshilfe zu KOSTRA-DWD-2020 des Deutschen Wetterdienstes.

Starkniederschlagshöhen und -spenden gemäß KOSTRA-DWD-2020

Rasterfeld 72142

(Zeile 72, Spalte 142)

Übersichtskarte des Rasterfeldes 72142, M 1 : 100 000



Quelle Rasterdaten: KOSTRA-DWD-2020 des Deutschen Wetterdienstes, Stand 12/2022.

Seite 3 von 3

Kartendarstellung: © Bundesamt für Kartographie und Geodäsie (2023), Datenquellen: https://sgx.geodatenzentrum.de/web_public/gdz/datenquellen/Datenquellen_TopPlusOpen.html

Für die Richtigkeit und Aktualität der Angaben wird keine Gewähr übernommen. Erstellt 01/2023.